

ВЛИЯНИЕ ШИРИНЫ СПЕКТРАЛЬНОЙ ЛИНИИ ВОЗБУЖДАЮЩЕГО ИЗЛУЧЕНИЯ НА УСИЛЕНИЕ ПРИ ВЫНУЖДЕННОМ РАССЕЯНИИ

A. З. Грасюк, И. Ф. Зубарев, Н. В. Суязов

1. Усиление света при вынужденном рассеянии в поле накачки интенсивности I_H ($\text{вт}/\text{см}^2$) в активной среде длиной L (см) происходит по закону $\exp(gI_H L)$. Коэффициент усиления g ($\text{см}/\text{вт}$) имеет вид: $g = A/\Delta\omega$. Здесь $\Delta\omega = 2\pi(\Delta\nu_H + \Delta\nu_{cp})$, $\Delta\nu_H$ (см^{-1}), $\Delta\nu_{cp}$ (см^{-1}) – соответственно, ширины спектральных линий возбуждающего излучения и спонтанного рассеяния. Для вынужденного комбинационного рассеяния (ВКР) $A = \lambda_c \sigma N / Y$, где λ_c – длина волны первой стоксовой компоненты, σ – сечение ВКР, N – концентрация молекул. Для вынужденного рассеяния Мандельштама – Бриллюэна $A = \gamma^2 k^2 / (n^3 c \rho v)$, где γ – фотоупругая постоянная среды, ρ – ее плотность, n – показатели преломления, $k = 2\pi/\lambda$ – волновой вектор, c , v – соответственно скорости света и гиперзвука.

При широкополосной накачке, когда $\Delta\nu_H \gg \Delta\nu_{cp}$, коэффициент усиления g казалось бы всегда должен уменьшаться с ростом $\Delta\nu_H$: $g \approx A/\Delta\nu_H$. Однако проведенные нами ранее опыты [1] впервые показали, что это не так. Оказалось, что при определенных условиях эффективность преобразования в стоксовые компоненты ВКР (определенная коэффициентом усиления) может не зависеть от ширины спектральной линии накачки при изменении последней в диапазоне $10^{-3} \div 40 \text{ см}^{-1}$.

Впоследствии в теоретических работах [2,3] были рассмотрены различные особенности вынужденного рассеяния в поле широкополосной накачки (ВРШН). При этом были предсказаны некоторые новые эффекты.

2. В описываемых ниже опытах мы наблюдали новые явления, теоретически предсказанные в [3] и проявляющиеся в области интенсивностей накачки, характерных для практических приложений. Эти новые явления заключаются в асимметрии по отношению к неправлениям "вперед-назад" и в пороговом характере зависимости инкремента усиления от интенсивности возбуждения при ВРШН.

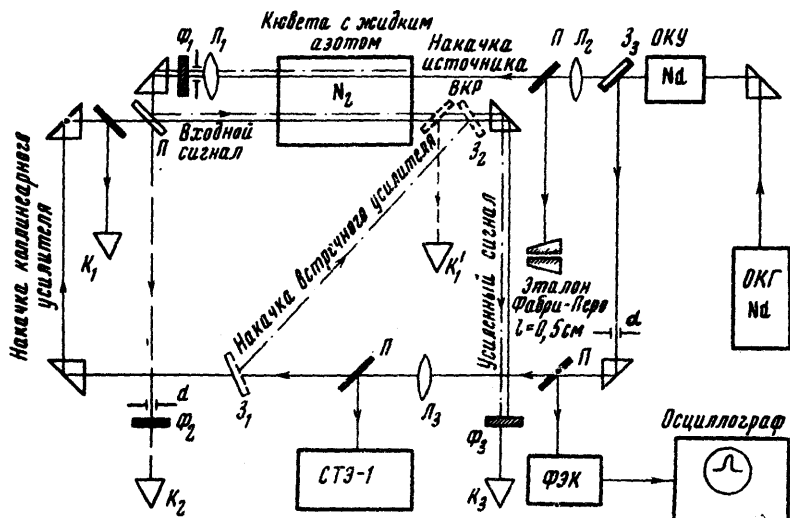


Рис. 1. Блок-схема экспериментальной установки: $K_1 - K_3$ – калориметры; $\Phi_1 - \Phi_3$ – селективные фильтры, пропускающие стоксов сигнал и отсекающие излучение накачки; Π – плоскопараллельные стеклянные пластины; $\Phi\text{Л}$ – интерферометр Фабри – Перо с зазором 0,5 см; СПЗ-1 – спектрограф; ФЭК – коаксиальный фотоэлемент с осциллографом И2-7; ОКГ Nd-лазер на фосфатном неодимовом стекле с модулированной добротностью; ОКУ – усилитель на стекле с Nd; — накачка, — · · — ВКР-сигнал. Пунктиром указана та часть схемы, которая используется при исследовании встречного варианта стоксова усилителя

Экспериментально исследовалась зависимость инкремента усиления при ВКР от интенсивности накачки для различных соотношений между $\Delta\nu_H$ и $\Delta\nu_{cp}$ в двух вариантах усиления: коллинеарном и встречном (накачка и внешний стоксов сигнал идут соответственно в одном направлении или навстречу друг другу).

Источником накачки служило излучение лазера с модулированной добротностью на фосфатном неодимовом стекле. Его спектр регулировался в пределах от $\Delta\nu_H < 3 \cdot 10^{-2} \text{ см}^{-1}$ (модуляция добротности красителем) до $\Delta\nu_H = 0,3 \text{ см}^{-1}$ (модуляция добротности вращающейся призмой и селекция мод: две плоскопараллельные стеклянные пластины разной толщины в качестве выходного зеркала резонатора).

Для жидкого азота $\Delta\nu_{\text{ср}} = 0,067 \text{ см}^{-1}$ и при $\Delta\nu_{\text{H}} = 0,3 \text{ см}^{-1}$ выполняется условие широкополосности $\Delta\nu_{\text{H}} \gg \Delta\nu_{\text{ср}}$. В то же время достаточно малой является отмеченная в [3] пороговая величина интенсивности накачки $I_{\text{H}}^{\text{II}} = (2\pi\nu'/g_0)\Delta\nu_{\text{H}}$. Здесь $\nu' = |(\nu_c - \nu_{\text{H}})|/\bar{v}$ – относительная дисперсия групповых скоростей накачки (ν_{H}) и стоксовой компоненты (ν_c) (при коллинеарном усилении $\nu' \sim 10^{-2}$, при встречном $\nu' = 2$), а g_0 – коэффициент усиления при узкополосном возбуждении, который для жидкого азота равен $g_0 = 10^{-2} \text{ см}/\text{Мэв}$ [4]. Это значит, что при коллинеарном усилении $I_{\text{H}}^{\text{II}} \approx 1,8 \text{ Мэв}/\text{см}$. При этом отсутствуют такие нежелательные побочные явления, как самофокусировка, заметное преобразование в стоксовой компоненте в возбуждающем пучке без внешнего сигнала¹⁾ и т.д. Для встречного усиления $I_{\text{H}}^{\text{II}} = 300 \text{ Мэв}/\text{см}^2$.

Блок-схема экспериментальной установки показана на рис. 1. Излучение неодимового лазера зеркалом Z_3 делится на два пучка. Один из них фокусировался линзой L_2 и создавал в кювете ВКР, первая стоксова компонента которого использовалась в качестве входного сигнала для ВКР-усилителя. Коэффициент усиления измерялся калориметрами K_2 , K_3 : форма и длительность импульса накачки регистрировались коаксиальным элементом ФЭК-09 и осциллографом И2-7. Спектральный состав излучения контролировался спектрографом СТЭ-1 и интерферометром Фабри – Перо с зазором 0,5 см (разрешение $0,03 \text{ см}^{-1}$).

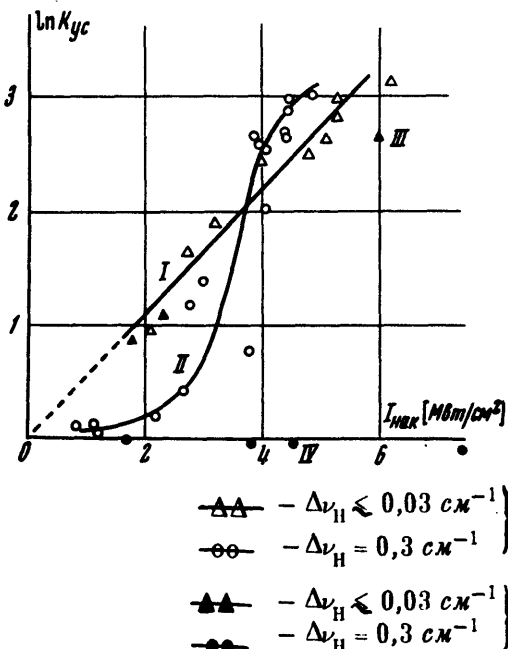


Рис. 2. Экспериментальная зависимость $\ln K_{\text{yc}} = \ln [E_{\text{c}}^{\text{вых}} / E_{\text{c}}^{\text{вх}}]$ от интенсивности накачки I_{H} для коллинеарного и встречного вариантов усиления.

3. Экспериментально измерялась величина $\ln K_{\text{yc}} = \ln [E_{\text{c}}^{\text{вых}} / E_{\text{c}}^{\text{вх}}]$ как функция интенсивности накачки I_{H} при фиксированной длине усиительной кюветы $L = 50 \text{ см}$. Здесь $E_{\text{c}}^{\text{вх}}$ – энергия стоксова сигнала на входе усиительной кюветы, а $E_{\text{c}}^{\text{вых}}$ – энергия усиленного сигнала на выходе ($E_{\text{c}}^{\text{вх}}, E_{\text{c}}^{\text{вых}} \ll I_{\text{H}} \tau_{\text{H}}$). Таким образом отклонение зависимости

¹⁾ В данном случае оно наблюдалось при $I_{\text{H}} > 6 + 8 \text{ Мэв}/\text{см}^2$.

$\ln K_{yc}$ от линейной по I_H ($\ln K_{yc} = g I_H L$) свидетельствует об изменении величины коэффициента усиления g .

Экспериментальные результаты представлены на рис. 2. Видно, что при узкополосной накачке (зависимости I, III) соответствующий узкополосный коэффициент усиления g_0 практически постоянен ($g_0 \approx 10^{-2} \text{ см}/\text{Мсм}$) и не зависит от направления взаимного распространения накачки и сигнала.

Совершенно иная картина наблюдается при широкополосном возбуждении (II, IV). В коллинеарном случае (II) до тех пор пока интенсивность накачки ниже некоторого порога ($I_H^{\text{II}} \approx 3 \text{ Мсм}/\text{см}^2$) "широкополосный" коэффициент усиления $g_{\text{Ш}}$ значительно меньше узкополосного ($g_{\text{Ш}} < g_0$). По мере превышения порога величина $g_{\text{Ш}}$ резко нарастает, приближаясь к g_0 . Другими словами, усиление становится таким же, как и при узкополосной накачке. При встречном варианте во всей области исследованных интенсивностей усиления нет вообще ($g_{\text{Ш}} \approx 0$). Этот факт пока не имеет теоретического объяснения.

Авторы благодарны Ю.Е.Дьякову и С.А.Ахманову за плодотворные дискуссии по данному вопросу, В.Г.Смирнову и В.И.Мишину за полезное обсуждение постановки экспериментов и В.В.Бочарову за помощь при проведении опытов.

Физический институт
им. П.Н.Лебедева
Академии наук СССР

Поступила в редакцию
13 июля 1972 г. '

Литература

- [1] В.В.Бочаров, А.З.Грасюк, И.Г.Зубарев, В.Ф.Муликов. ЖЭТФ, 56, 430, 1969.
- [2] Ю.Е.Дьяков. Письма в ЖЭТФ, 11, 362, 1970.
- [3] С.А.Ахманов, Ю.Е.Дьяков, А.С.Чиркин. Письма в ЖЭТФ, 13, 724, 1971.
- [4] В.В.Бочаров, М.Ф.Фангардт, А.З.Грасюк, И.Г.Зубарев, Е.А.Юков. ЖЭТФ, 57, 1585, 1969.